



# Célula tandem configurada com junção n-WO₃|p-CuBi₂O₄ para divisão fotocatalítica da água

Caroline Maria V.P. Ramos<sup>2</sup>, Antônio Gabriel R. Costa<sup>1</sup>, Maria Karina Silva<sup>2</sup>, Renato A. Antunes<sup>3</sup>, Lara K.R. Silva<sup>4</sup>, Rejane Maria P. Silva<sup>1</sup>, Laecio Santos Cavalcante<sup>1</sup>, \*Reginaldo da Silva Santos<sup>1</sup>

- <sup>1</sup>GreenTec-Departmento de Química (PPGQ), Universidade Estadual do Piauí UESPI, Campus Poeta Torquato Neto, Pirajá, Teresina, 64002-150 PI, Brasil
- <sup>2</sup> Centro de Ciências Naturais e Humanas, Universidade Federal do ABC UFABC, Santo André, 09210-580 SP, Brasil
- <sup>3</sup> Centro de Engenharia, Modelagem e Ciências Sociais Aplicadas Universidade Federal do ABC/UFABC, Bangu, Santo André, 09210-580, SP, Brasil
- <sup>4</sup>CDMF, LIEC, Universidade Federal de São Carlos UFSCar, São Carlos, 13565-905 SP, Brasil

### Resumo/Abstract

RESUMO - Neste trabalho, filmes tipo-n de trióxido de tungstênio (WO<sub>3</sub>) e tipo-p de bismutato de cobre (CuBi<sub>2</sub>O<sub>4</sub> - CBO) foram investigados como fotoeletrodos em células fotoeletroquímicas (PEC) visando a produção de  $H_{2(g)}$  e  $O_{2(g)}$ . Análises estrutural e óptica indicaram fase cristalina tetragonal e  $E_{BG}$  de 1,72 eV para CBO. Medidas fotoeletroquímicas mostraram que o filme de CBO de maior densidade de fotocorrente eletrodepositado em 16 min (CBO-16). Medidas de impedância mostraram que o eletrodo de CBO apresenta maior resistência à transferência de carga que eletrodo de platina. Os resultados apresentados neste trabalho indicam que a combinação dos eletrodos p-CBO e n-WO<sub>3</sub> é adequada para a produção fotoeletroquímica de  $H_2$  em uma célula PEC do tipo tandem. O estudo discute as limitações do sistema para a aplicação prática dessa tecnologia na geração de energia limpa.

Palavras-chave: hidrogênio verde, reagente de sacrifício, célula tandem, CuBi<sub>2</sub>O<sub>4</sub>-WO<sub>3</sub>

ABSTRACT - In this work, n-type tungsten trioxide (WO<sub>3</sub>) and p-type copper bismuthate (CuBi<sub>2</sub>O<sub>4</sub> – CBO) films were investigated as photoelectrodes in photoelectrochemical (PEC) cells aimed at  $H_2(g)$  and  $O_2(g)$  production. Structural and optical analyses indicated a tetragonal crystalline phase and  $E_{BG}$  of 1.72 eV for CBO. Photoelectrochemical measurements showed that the CBO film electrodeposited for 16 minutes (CBO-16) exhibited the highest photocurrent density. Impedance measurements revealed that the CBO electrode has higher charge transfer resistance than the platinum electrode. The results presented in this work indicate that the combination of p-CBO and n-WO<sub>3</sub> electrodes is suitable for PEC tandem cells for  $H_2$  production. The study also discusses system limitations for the practical application of this technology in clean energy generation. *Keywords: green hydrogen, sacrificial reactant, tandem cell, CuBi<sub>2</sub>O<sub>4</sub>-WO<sub>3</sub>* 

Introdução

Células fotoeletroquímicas (PEC) têm sido configuradas visando a conversão de energia luminosa em outras formas de energia (1). Neste sentido, as PECs do tipo tandem destacam-se como alternativas promissoras para a produção de H<sub>2</sub> solar porque podem combinar eletrodos semicondutores do tipo-n e tipo-p (2). Dentre os semicondutores tipo-n, o trióxido de tungstênio (WO<sub>3</sub>) se destaca como um fotoânodo estável e eficiente (3); enquanto o bismutado de cobre, CuBi<sub>2</sub>O<sub>4</sub>, (CBO) é um fotocátodo atrativo por sua abundância, baixa toxicidade, energia de banda ideal e relativa estabilidade fotoquímica (4). Para aumentar a eficiência e evitar recombinação de cargas, utiliza-se glicerol como reagente de sacrifício (5).

Recentemente, nosso grupo de estudos apresentou pesquisa com filmes de CBO eletrodepositados em diferentes tempos, avaliando suas propriedades físico-químicas e fotoeletroquímicas. Os filmes foram utilizados como fotocátodos em célula PEC tipo Tandem, i.e., com junção p—n (CBO/WO<sub>3</sub>). Esta PEC foi comparada com uma célula configurada com o eletrodo de platina (6).

# Experimental

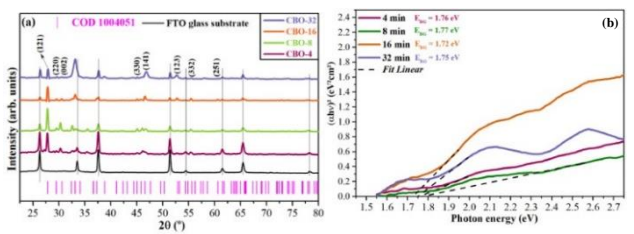
O WO<sub>3</sub> foi obtido via síntese hidrotérmica, com precursores de Na<sub>2</sub>WO<sub>4</sub>·2H<sub>2</sub>O, HCl e (NH<sub>4</sub>)<sub>2</sub>C<sub>2</sub>O<sub>4</sub>, submetida a 120 °C por 12 h em autoclave, seguida de calcinação a 500 °C. Já os filmes de CBO foram preparados por eletrodeposição potenciostática a -0,5 V durante 4, 8, 16 ou 32 min., a partir de solução com Cu(NO<sub>3</sub>)<sub>2</sub>·3H<sub>2</sub>O e Bi(NO<sub>3</sub>)<sub>3</sub>·5H<sub>2</sub>O acidificada com HNO<sub>3</sub>, sendo os filmes posteriormente calcinados a 600 °C por 2 h. Os estudos fotoeletrocatalíticos foram realizados em uma célula de dois compartimentos, separadas por uma semipermeável. O fotoânodo foi imerso em uma solução de NaOH 0,5 mol L<sup>-1</sup> misturada a glicerol 99% em diferentes proporções, enquanto o fotocátodo foi imerso em solução aquosa de Na<sub>2</sub>SO<sub>4</sub> 0,1 mol L<sup>-1</sup>. Os experimentos foram realizados em duas condições: (i) com aplicação de 0,7 V (vs Ag/AgCl) e (ii) em circuito aberto no escuro (OCP), sem corrente inicial.

# Resultados e Discussão

As análises de DRX (Figura 1a) mostraram que os filmes de CBO possuem estrutura tetragonal, com sinais de



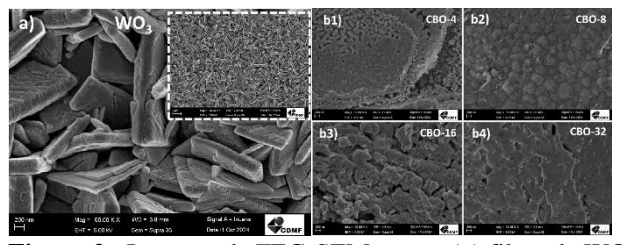
difrações características e em concordância com o cartão COD 1004051. A intensidade dos sinais de DRX para o substrato FTO diminui com o aumento do tempo de deposição, indicando maior espessura. O tamanho médio dos cristalitos de CBO estimados pela equação de Scherrer mediram entre ~30 e 35 nm.



**Figura 1.** (a) Difratogramas de raios X (DRX) e (b) estimativa da banda de energia proibida ( $E_{BG}$ ) para CBO.

As propriedades ópticas dos filmes de CBO, analisadas por espectroscopia UV-Vis, estimaram uma energia de banda proibida (E<sub>BG</sub>) variando de 1,72 e 1,77 eV (Fig. 1b), com destaque para o CBO-16 (1,72 eV) (4). Os resultados sugerem o CBO como material adequado como fotocátodo em PECs voltadas para conversão de luz visível.

As análises morfológicas mostraram que os filmes de WO<sub>3</sub> (Fig. 2a) são formados por nanopartículas em forma de placas irregulares, enquanto os filmes de CBO (Fig. 2b) exibem aumento progressivo de cobertura e porosidade com o tempo de eletrodeposição.



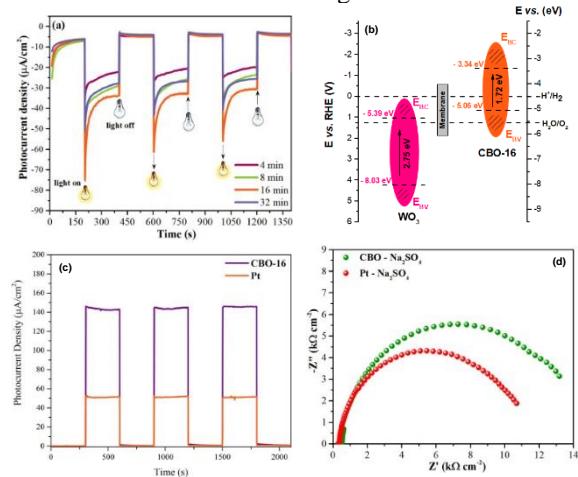
**Figura 2.** Imagens de FEG-SEM para o (**a**) filme de WO<sub>3</sub>; (**b**) filmes de CBO.

Essa morfologia porosa em ambos os materiais favorece o contato eletrodo-eletrólito e a transferência de cargas (3,4). As espessuras dos filmes de CBO variaram de 0,51 a 1,40 µm, dependendo do tempo de eletrodeposição.

Estudos fotoeletroquímicos mostraram que o filme CBO preparado com 16 min. de eletrodeposição (CBO-16) apresentou maior fotocorrente (Fig 3a). Verificou-se ainda que os filmes CBO-16 e o WO<sub>3</sub> possuem potenciais de banda adequados para a separação da água, como observa-se a partir do diagrama da Fig. 3b. Testes em célula tandem (Fig. 3c) mostram que a combinação CBO|WO<sub>3</sub> gerou três vezes maior fotocorrente que WO<sub>3</sub>|Pt°, o que pode ser atribuído à geração de elétrons na junção p-n. No entanto, mesmo com o bom desempenho superior, o CBO apresenta limitações cinéticas, como maior taxa de recombinação de cargas, confirmadas por medida de Espectroscopia de



Impedância Eletroquímicas (Fig. 3d), sugerindo maior resistência a transferência de carga.



**Figura 3.** Curvas de (a) CA para o CBO; (b) diagrama de níveis de energia de BC e BV para CBO e WO<sub>3</sub>; (c) comparação de CBO e Pt<sup>0</sup> em célula tandem; (d) gráficos de Nyquist que comparam a transferência de carga entre os fotocátodos CBO e Pt<sup>0</sup>.

## Conclusões

Os filmes de WO<sub>3</sub> e CBO foram depositados com sucesso método hidrotérmico eletrodeposição. pelo e respectivamente. O CBO apresentou estrutura tetragonal, além de boa absorção de luz visível. As análises morfológicas revelaram estruturas porosas em WO<sub>3</sub> e CBO, favorecendo a transferência de carga. O uso de glicerol como reagente de sacrifício aumentou a fotocorrente. No entanto, a resistência à transferência de carga do CBO limita a produção de H<sub>2</sub>. Conclui-se que os materiais estudados são promissores para sistemas eficientes de divisão da água, embora melhorias na eficiência do CBO ainda sejam necessárias.

# Agradecimentos

Agradecemos à FAPEPI, CAPES, CNPq e FAPESP pelo apoio financeiro e técnico, aos laboratórios LAS-UFPI e ao Pho<sup>2</sup>Con-UFABC, bem como os colaboradores Lucas Faustino, Priscila H. Palharin, Marcos R. S. Vicente e José M. C. Júnior pelas contribuições a este trabalho.

# Referências

- 1. G. Xu. et al. Renewable energy, 2024, p. 120150.
- 2. M. S. Prévot; K. Sivula. *The Journal of Physical Chemistry C*, **2013**, v. 117, n. 35, p. 17879–93.
- 3. M. L. Barbosa. et al. Nano-Structures and Nano-Objects, 2023, v. 35, p. 100993.
- 4. Z. Jiang. et al. Materials Science in Semiconductor Processing, 2021, v. 134, p. 105989.
- 5. T. P. Lyubina. et al. International Journal of Hydrogen Energy, 2013, v. 38, n. 33, p. 14172–79.
- 6. M. V. P. Ramos. *et al. Surfaces and Interfaces.* **2024**, v. 56, p. 13.